

Inteligência Artificial

Raoni F. S. Teixeira

Aula 13 - Aprendizado Não-supervisionado: Clustering k -means e Autoencoder

1 Introdução

O objetivo do aprendizado não supervisionado é identificar padrões em conjuntos de dados que não possuem rótulos ou respostas pré-definidas. Diferentemente do aprendizado supervisionado, não há uma saída específica para guiar o treinamento.

Nesta aula, vamos estudar dois métodos: k -means e autoencoder, que abordam problemas como agrupamento e redução de dimensionalidade.

2 Algoritmo k -means

K -means é um algoritmo de *clustering* que recebe um conjunto de dados de treinamento $\{x^{(1)}, \dots, x^{(m)}\}$ e busca agrupá-los em k subconjuntos coesos chamados de *clusters*. Cada subconjunto j é representado pelo seu centróide μ_j . O algoritmo pode ser descrito pelos seguintes passos:

1. Inicialize os centróides $\mu_1, \mu_2, \dots, \mu_k \in \mathbb{R}^n$ aleatoriamente.

2. Repita até a convergência:

- Para cada exemplo i , atualize a atribuição do cluster:

$$c^{(i)} \leftarrow \arg \min_j \|x^{(i)} - \mu_j\|^2.$$

- Para cada centróide j , atualize sua posição:

$$\mu_j \leftarrow \frac{\sum_{i=1}^m \mathbb{1}\{c^{(i)} = j\} x^{(i)}}{\sum_{i=1}^m \mathbb{1}\{c^{(i)} = j\}}.$$

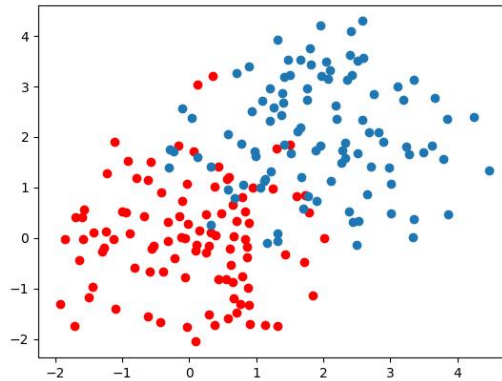


Figura 1: Distribuição gaussiana com duas classes. Vermelho: $\mu_1 = [0, 0]$. Azul: $\mu_2 = [2, 2]$.

No algoritmo acima, k é um parâmetro que representa o número de clusters desejado, enquanto os centróides μ_j indicam as posições estimadas dos centros desses clusters. A inicialização dos centróides pode ser feita escolhendo aleatoriamente k exemplos de treinamento e definindo os centróides iguais aos valores desses exemplos.

A Figura 1 mostra dois grupos de pontos gerados por distribuições gaussianas: pontos vermelhos com média $\mu_1 = [0, 0]$ e azuis com média $\mu_2 = [2, 2]$, ambos com matriz de covariância $C = \begin{bmatrix} 1 & 0 \\ 0 & 1 \end{bmatrix}$.

A Figura 2 mostra o algoritmo k -means aplicado aos dados da Figura 1. A cada iteração, o algoritmo alterna entre duas etapas:

1. Atribuição: cada ponto é associado ao centróide mais próximo
2. Atualização: os centróides são recalculados como a média dos pontos associados

Após convergência, os centróides ($c_1 = [-0.003, -0.009]$ e $c_2 = [2.071, 2.143]$) aproximam-se das médias originais.

O algoritmo minimiza a função de custo:

$$J = \sum_{i=1}^k \sum_{x \in C_i} \|x - \mu_i\|^2,$$

em que C_i corresponde aos pontos do cluster i , μ_i é o centróide do cluster i e $\|x - \mu_i\|^2$ é a distância euclidiana ao quadrado.

A Figura 3 mostra a função de custo e a convergência do algoritmo em cada iteração. A medida que os centróides se aproximam dos valores iniciais (Figura 2 a)-f)) a função de custo diminui (Figura 3).

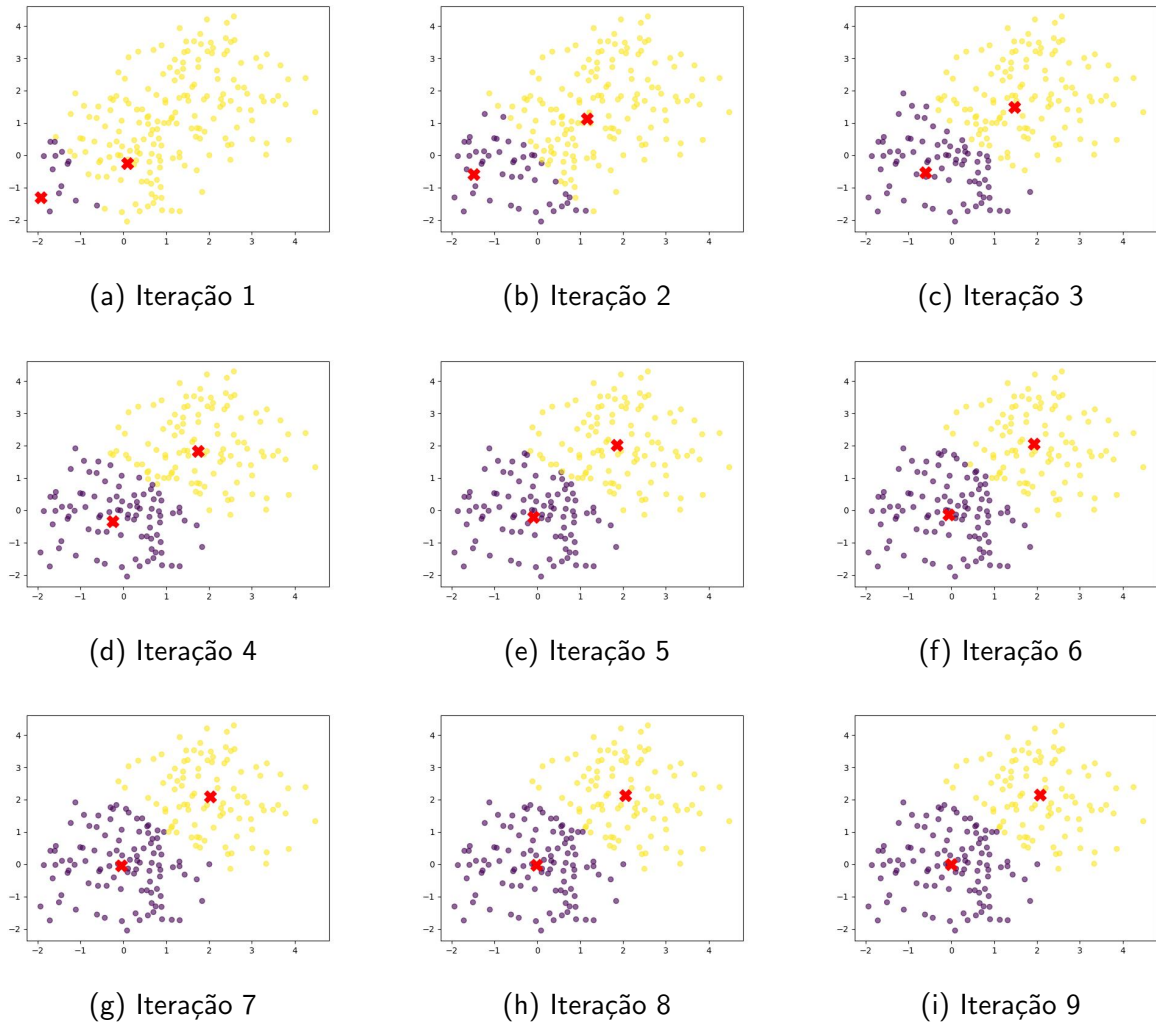


Figura 2: Evolução do k -means em nove iterações. Cruzes vermelhas indicam centróides. Os valores finais aproximam-se das médias originais.

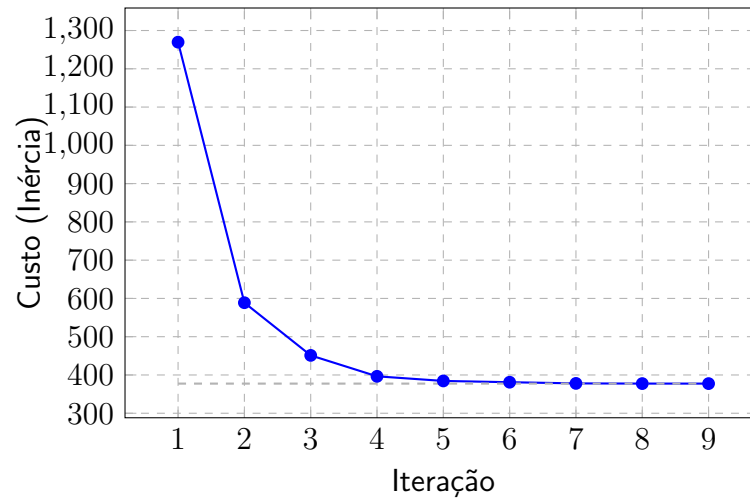


Figura 3: Convergência do K-Means: Função de Custo ao longo das iterações.

2.1 Aplicações

No mundo real, o k -means é utilizado em aplicações de segmentação de mercado. Por exemplo, uma fábrica de camisas pode utilizar o algoritmo para agrupar clientes com base em medidas corporais como circunferência do tronco e comprimento dos braços.

A Figura 4 mostra um agrupamento de pessoas em tamanhos de camisas (P, M, G) com base nessas medidas. As cruzes correspondem aos centróides. Ao escolher cuidadosamente os parâmetros do algoritmo, a fábrica pode garantir que a maior parte da população será atendida com seus tamanhos padrão.

O k -means também pode ser utilizado para reduzir a resolução de imagens através de quantização de cores. A Figura 5 mostra um exemplo desse processo usando diferentes valores de k (32, 16, 8, 4 e 2 cores).

O algoritmo funciona da seguinte forma:

- Agrupa as cores da imagem original em k clusters
- Substitui cada pixel pelo centróide do seu cluster correspondente
- Gera uma nova imagem com apenas k cores distintas

Esse processo reduz efetivamente a complexidade da imagem enquanto mantém suas características principais.

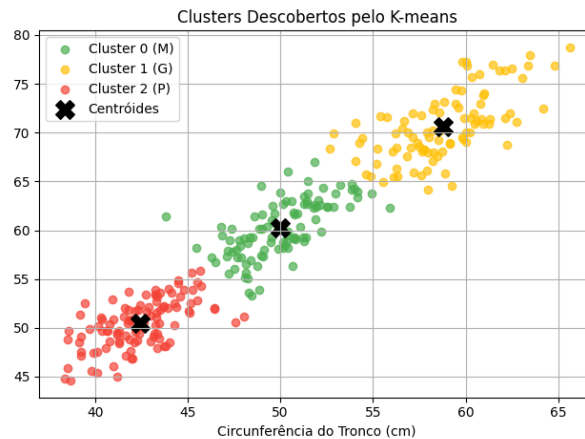


Figura 4: Agrupamento de tamanhos de camisas usando k -means com base em medidas corporais

3 Autoencoders

Um autoencoder é uma rede neural que aprende representações compactas de dados de forma não supervisionada. Seu funcionamento baseia-se em dois processos:

- **Codificação:** Transforma os dados em uma representação compacta (espaço latente) e
- **Decodificação:** Reconstrói os dados originais a partir dessa versão comprimida.

A Figura 6 mostra como esses dois processos são incorporados na arquitetura do modelo. O **Encoder** é uma rede neural que reduz progressivamente a dimensionalidade da entrada (por exemplo, $784 \rightarrow 256 \rightarrow 32$). O **Espaço Latente** é a representação da entrada original compactada $\mathbf{z} \in \mathbb{R}^K$, com K muito menor que D . Por fim, o **Decoder** é a rede que reconstitui os dados a partir do espaço latente \mathbf{z} — a dimensão aumenta progressivamente, por exemplo, $32 \rightarrow 256 \rightarrow 784$.

Tanto o encoder quanto o decoder (representados pelos trapézios vermelhos na Figura 6) podem ser implementados com diversos componentes neurais — desde camadas densas até arquiteturas convolucionais ou *transformers*.

O autoencoder aprende minimizando o erro de reconstrução:

$$\mathcal{L} = \frac{1}{n} \sum_{i=1}^n \|\mathbf{x}_i - \text{Decoder}(\text{Encoder}(\mathbf{x}_i))\|^2, \quad (1)$$

em que \mathbf{x}_i representa os dados originais e n o número de amostras. Essa função de custo mede a perda de informação durante o processo de compressão e reconstrução. Quanto menor o valor de \mathcal{L} mais precisa é a reconstrução $\text{Decoder}(\text{Encoder}(\mathbf{x}_i))$.

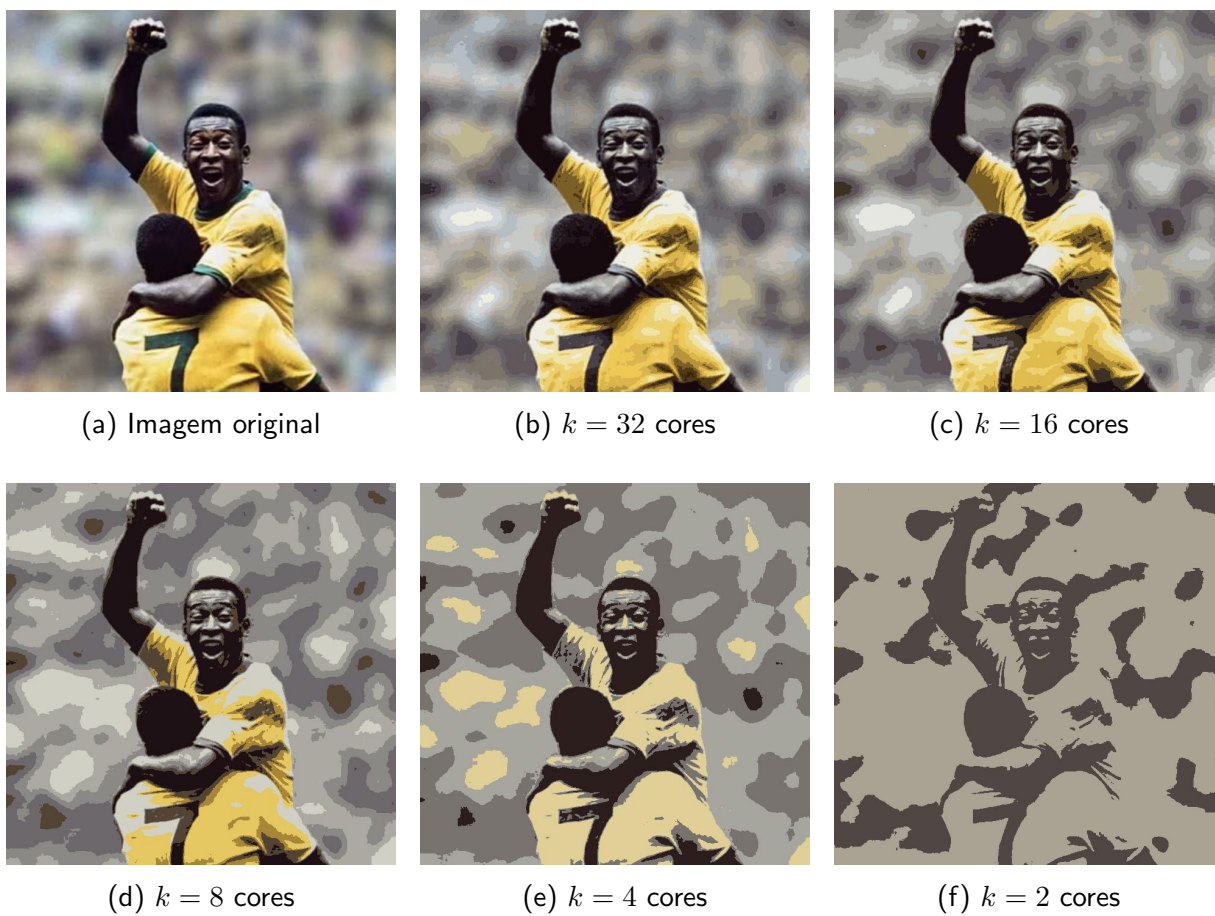


Figura 5: Quantização de cores usando k -means com diferentes valores de k

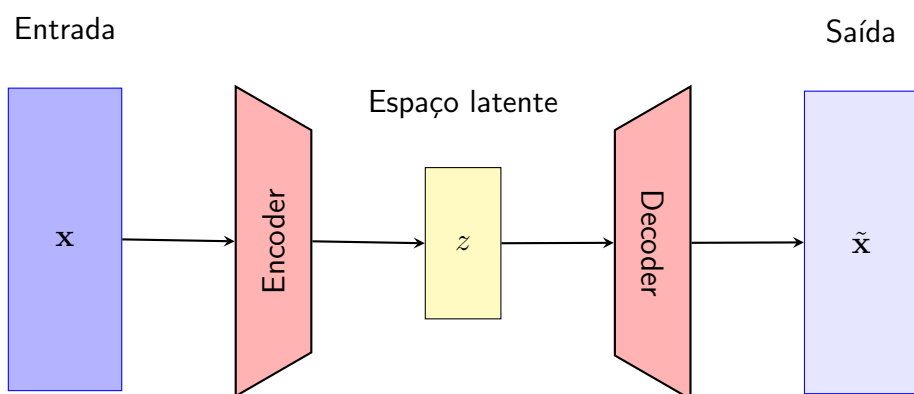


Figura 6: Arquitetura de um autoencoder

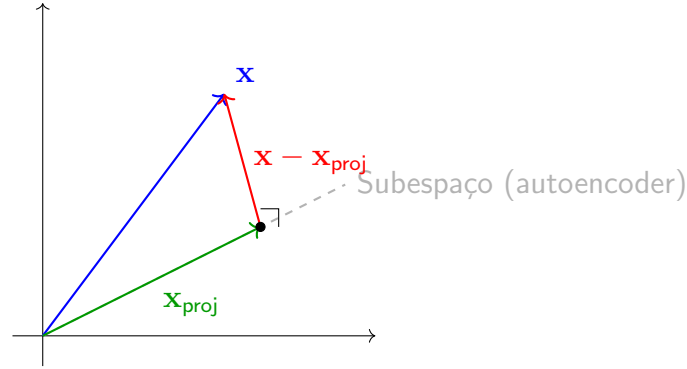


Figura 7: Projeção ortogonal no subespaço do autoencoder linear.

3.1 Autoencoder Linear

O autoencoder linear é a versão mais simples de autoencoder. Ele usa uma rede neural com apenas uma camada oculta e uma função de ativação linear.

Matematicamente, ele reconstrói a entrada \mathbf{x} como:

$$\tilde{\mathbf{x}} = \mathbf{U}\mathbf{V}\mathbf{x}$$

em que $\mathbf{V} \in \mathbb{R}^{K \times D}$ é uma matriz de pesos que comprime os dados para o subespaço K -dimensional S e $\mathbf{U} \in \mathbb{R}^{D \times K}$ reconstrói a aproximação no espaço original.

Na solução ideal, \mathbf{U} e \mathbf{V} formam uma projeção ortogonal:

$$\mathbf{U} = \mathbf{Q}, \quad \mathbf{V} = \mathbf{Q}^\top \quad (2)$$

com \mathbf{Q} sendo uma base ortonormal que satisfaz $\mathbf{Q}^\top \mathbf{Q} = \mathbf{I}_K$.

Este modelo resolve simultaneamente dois problemas:

1. Minimiza o erro de reconstrução:

$$\arg\min_{\mathbf{U}, \mathbf{V}} \frac{1}{N} \sum_{i=1}^N \|\mathbf{x}^{(i)} - \tilde{\mathbf{x}}^{(i)}\|^2 \quad (3)$$

2. Maximiza a variância:

$$\max \frac{1}{N} \sum_{i=1}^N \|\tilde{\mathbf{x}}^{(i)} - \boldsymbol{\mu}\|^2 \quad (4)$$

Geometricamente, o autoencoder linear projeta o vetor \mathbf{x} ortogonalmente em um subespaço linear. A projeção \mathbf{x}_{proj} é o ponto mais próximo de \mathbf{x} nesse subespaço. A diferença $\mathbf{x} - \mathbf{x}_{\text{proj}}$ é o erro de projeção. A Figura7 ilustra esses conceitos em duas dimensões.

A decomposição é dada por:

$$\mathbf{x} = \mathbf{x}_{\text{proj}} + (\mathbf{x} - \mathbf{x}_{\text{proj}})$$

em que \mathbf{x}_{proj} representa a parte explicada pelo modelo e $\mathbf{x} - \mathbf{x}_{\text{proj}}$ é o erro não explicado.

Pelo Teorema de Pitágoras:

$$\|\mathbf{x}\|^2 = \|\mathbf{x}_{\text{proj}}\|^2 + \|\mathbf{x} - \mathbf{x}_{\text{proj}}\|^2$$

Esta equação mostra que a energia (variância) total do vetor é a soma da energia (variância) explicada e do erro residual.

A solução deste problema é idêntica à Análise de Componentes Principais (PCA), que pode ser resolvida analiticamente usando projeções ortogonais.

A Figura 8 mostra a evolução da função de perda durante o treinamento do modelo de reconstrução linear. O valor da função de perda diminui consistentemente a cada época, indicando a convergência do algoritmo de otimização.

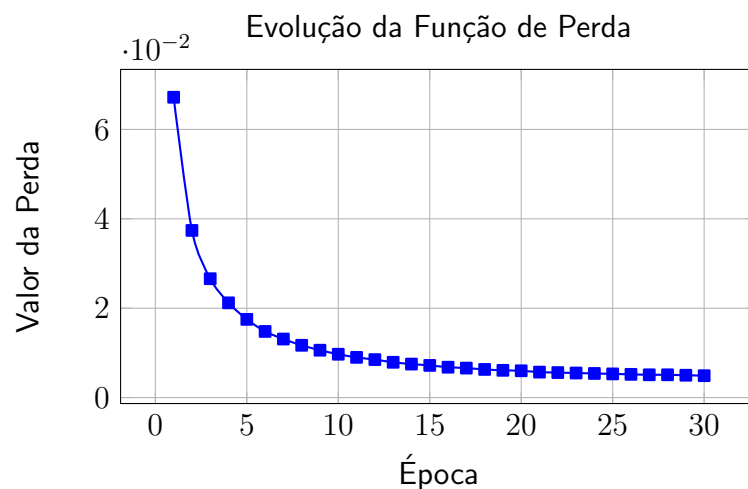


Figura 8: Evolução da função de perda durante o treinamento do autoencoder linear

A Figura 9 apresenta os resultados da reconstrução para cinco dígitos manuscritos do conjunto de dados MNIST, utilizando um espaço latente de dimensão 64 (ou seja, os 400 pixels originais - 20×20 - são comprimidos em um vetor de 64 dimensões). A primeira linha exibe as imagens originais, enquanto a segunda linha mostra as reconstruções geradas pelo modelo. Os resultados demonstram uma reconstrução razoavelmente fiel, porém com um leve efeito de borramento, característico da compressão linear.

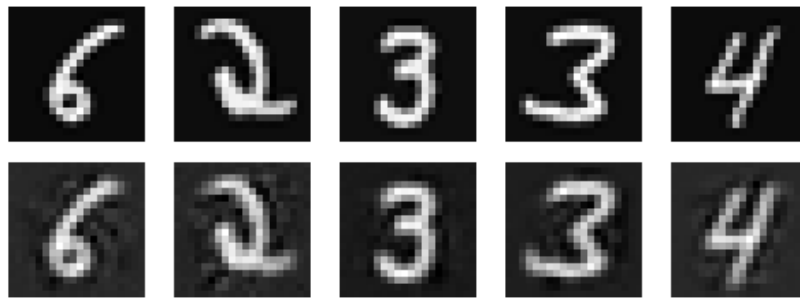


Figura 9: Resultados de reconstrução do autoencoder linear para dígitos MNIST (acima: originais; abaixo: reconstruções)

3.2 Autoencoder Convolutacional

Os autoencoders não lineares superam as limitações dos modelos lineares ao aprender representações complexas em variedades não lineares (*manifolds*). Nesses modelos, o decodificador define o *manifold* como sua imagem, realizando uma redução de dimensionalidade que preserva estruturas não lineares nos dados.

Um exemplo eficiente é o autoencoder convolutacional com as seguintes características:

- **Codificador:**

- Três camadas convolucionais com filtros 3×3
- Função de ativação ReLU após cada operação convolutacional
- Operações de *MaxPooling* para redução dimensional progressiva
- Camada densa final projetando em espaço latente de 128 dimensões

- **Decodificador:**

- Camada densa inicial expandindo a representação latente
- Três camadas de convolução transposta para reconstrução espacial
- Função de ativação sigmoide na camada de saída (valores em $[0, 1]$)

A Figura 10 apresenta os resultados da reconstrução com um autoencoder convolutacional para cinco dígitos manuscritos do conjunto de dados MNIST no espaço latente de dimensão 128. A primeira linha exibe as imagens originais, enquanto a segunda linha mostra as reconstruções geradas pelo modelo. Os resultados demonstram alta fidelidade na reconstrução dos padrões e ausência de borramento.

A Figura 11 mostra a evolução da função de perda durante o treinamento do modelo de reconstrução linear. O gráfico mostra uma rápida diminuição da função de perda nos primeiros passos, seguida por uma convergência gradual.

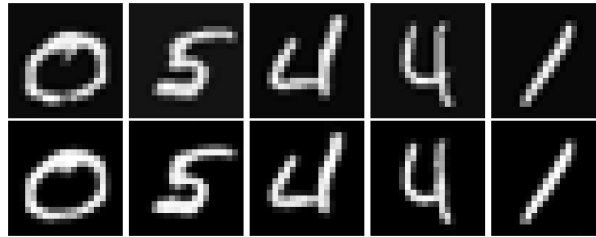


Figura 10: Resultados de reconstrução do autoencoder convolucional para dígitos MNIST (acima: originais; abaixo: reconstruções).

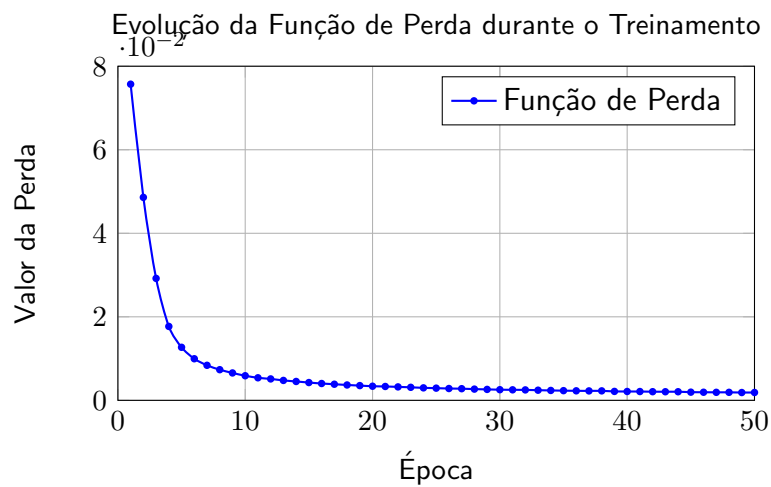


Figura 11: Evolução da função de perda do autoencoder convolucional.

4 Aplicações

Autoencoders são aplicados a muitos problemas, incluindo reconhecimento facial, detecção de características, detecção de anomalias e aprendizagem do significado das palavras. Também podem ser utilizados para síntese de dados, para gerar aleatoriamente novos dados semelhantes aos dados de entrada (treinamento).